

Fig. 2. X-ray scanning diagram of electrolytic residues isolated from NA-22 H.
(target Co, filter Fe).

の破断強さはインコネルよりも大きく、破断時間において 10 倍以上であると考えられる。

3) クリープ破断試験前後の NA-22 H のミクロ組織

Photo. 1 に 6%W (基準) および 8%W, NA-22 H のクリープ破断試験 (1200°C , 1kg/mm^2) 前後のミクロ組織を示す。なお試験後のミクロ組織は共に破断部近くのものである。

Photo. 1 に見られる析出相を決定するために、基準成分の NA-22 H について濃塩酸、エチルアルコール (9:1) 液で電解分離 (0.06A , 48 h) して得られた残渣を X 線で回折した。その際に得られた回折図は Fig. 2 に示す通りで、析出相は格子定数 $a=10.7\text{\AA}$ 程度の M_6C と見られる。

Photo. 1 で明らかなように M_6C は W の増加によって、大きくかつ多量となる。C 量によるミクロ組織の変化も W の場合と略同様な傾向を示した。いずれの場合も、試験前に見られる小さく分散した相 (Photo. 1, before test) は、クリープ破断試験中に凝集して極めて少なくなるかほとんど認められなくなっている。(Photo. 1, after test)

この M_6C の組成、形状、量ならびに基質への溶解度などは NA-22 H におけるクリープ破断強さに大きな影響をおよぼしているものと推察される。

V. 結 言

1) 短時間の 1200°C における NA-22 H のクリープ破断試験結果によれば、C は 0.4%付近で破断強さを最大にし、W は 4%まで破断強さを上昇させるが、4%以上になるとその上昇度は非常に小となる。Si の影響は可成り大きく 0.8~1.5% で破断強さは最大となる。Ni は 48%より増しても減じても破断強さを低下する。

2) 1200°C における NA-22 H のクリープ破断強さはインコネルより大で、破断時間において 10 倍以上と考えられる。

3) NA-22 H のミクロ組織で観察される析出相は、

M_6C と見られ、この相の析出状態は NA-22 H におけるクリープ破断強さに大きな影響をおよぼしているものと思われる。

M_6C は 1200°C においてクリープ破断試験中に凝集する傾向を示す。

669, 14, 018, 44, 669, 15, 24, 26, 786-194, 6
1539, 434, 669, 28, 669, 293

(173) 高窒素 25% Cr-28% Ni 耐熱鋼の性質におよぼす Mo および Cb の影響

(高窒素 25% Cr オーステナイト耐熱鋼に関する研究—II)

東京工業大学

工博 岡本 正三・工博○田中 良平
八幡溶接棒研究所 藤本 六郎

Effect of Molybdenum and Columbium on Properties of High-Nitrogen 25% Cr-28%Ni Heat-Resisting Steels.

(Studies on high-nitrogen 25%Cr austenitic heat-resisting steels—II)

Dr. Masazō OKAMOTO, Dr. Ryohei TANAKA
and Rokurō FUJIMOTO.

I. 緒 言

第 1 報¹⁾において報告したように 25% Cr-28% Ni 耐熱鋼に約 0.5% の N を添加すると再結晶温度がいちじるしく高められ抗クリープ性もかなり改善される。しかしこの合金は溶体化後の 700°C 時効でも容易に窒化物の層状析出を生じ、かつこの層状析出物の凝集粗大化も早く組織的に不安定で抗クリープ性もなお不十分であつた。本報ではこの高窒素耐熱鋼に再結晶温度を高める Mo, 再結晶温度を高めかつ N との親和力の強い Cb をそれぞれ 2%ずつ単独に添加したものおよび 1% Mo と

1% Cbとを複合添加したものの計3種類の鋼について熱処理による組織変化、再結晶および引張クリープ破断特性などを研究した。

II. 試 料

Table 1に各試料の化学組成を示す。これら3鋼種とも表中に併記した溶製条件によりすべて10気圧の窒素雰囲気中で1チャージ5kgずつ溶解铸造したもので、いずれも収縮管を有する健全鋼塊を得た。Cb配合量の増加とともにinsoluble Nはいちじるしく増加し、total Nもまたかなり増加している。各鋼塊は約65mm角より13mmφの丸棒に鍛伸し、さらに1000°Cで6mm厚の板材に熱間圧延して以下の実験に供した。

III. 実験結果

1. 組織と硬さ

先ず、適当な溶体化処理温度を求めるために各鋼の熱間圧延材を1200°C~1300°Cの各温度にそれぞれ1h加熱水冷して硬度測定および検鏡を行なつた。Photo.

1にみるように2Mo-0.41N鋼は1200°C加熱ですでに析出物はほとんど固溶し、十分に溶体化されているが1Mo1Cb-0.59N鋼および2Cb-0.63N鋼はCbの窒化物とみられる析出物がかなり残存し、またオーステナイト粒が非常に微細である。溶体化温度をさらに高めると1Mo1Cb-0.59N鋼は1250°Cで、また2Cb-0.63N鋼は1300°Cで結晶粒の異常な成長がみられ、混粒組織を呈して硬さもHv30程度低下する。このような混粒組織を避けるため以後の実験においては溶体化処理をすべて1200°C-1h加熱水冷に一定した。

各鋼の1200°C溶体化試料およびこれに30%の冷間圧延をほどこしたものとについて、200°C~1100°Cの各温度に段階的に1hずつ加熱水冷の焼戻しを行なつて硬度の変化をしらべた結果をFig. 1に示す。2Mo-0.41N鋼の溶体化試料は950°C以上の焼戻でわずかに硬化し始め1050°Cで最高硬度に達するが、硬化量はHv20程度である。また1Mo1Cb-0.59N鋼および

2Cb-0.63N鋼の溶体化試料はすべての温度範囲にわたってほとんど硬度変化がみられない。溶体化後30%の冷間圧延をほどこすと、各鋼とも顕著な加工硬化を示す。これらを焼戻すと2Mo-0.41N鋼は500°Cまで、また1Mo1Cb-0.59N鋼および2Cb-0.63N鋼は700°C付近まで顕著な、歪時効硬化をみると、各鋼とも750°C付近から軟化し始める。しかし2Mo-0.41N鋼は他の2鋼種に比して軟化がゆるやかで1100°Cに加熱しても溶体化状態の硬度にまでは低下せず、前報¹⁾で報告した25Cr-28Ni-0.54N鋼に比して明らかにMoの添加はいちじるしく焼戻軟化抵抗性を増すことが明ら

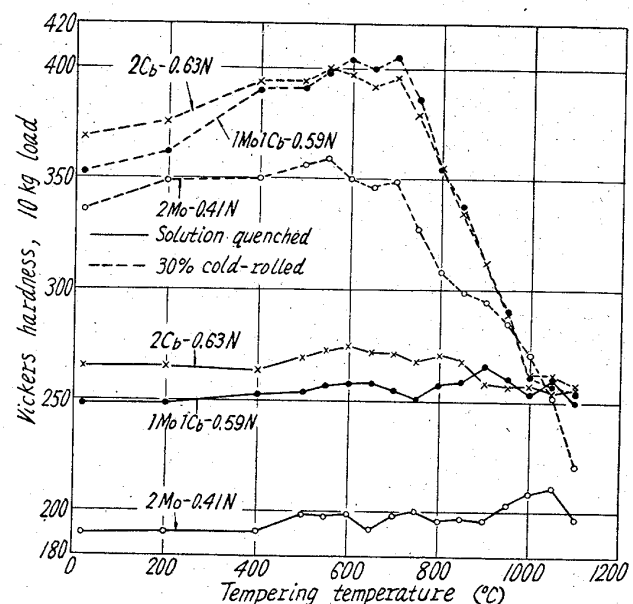


Fig. 1. Hardness change of 2 Mo-0.41N, 1 Mo 1 Cb-0.59N and 2 Cb-0.63N due to tempering for 1 h at each temperature.

Table 1. Chemical composition of the steels melted.

Marks	Melting conditions		Chemical composition (%)									
	N ₂ pressure atm	Holding time mn	C	Si	Mn	Ni	Cr	Mo	Cb	Sol. N	Insol. N	Total N
2Mo-0.41N	10	30	0.005	0.16	1.25	27.81	23.11	1.90	tr	0.403	0.007	0.410
1Mo1Cb-0.59N	10	30	0.005	0.12	1.39	28.43	24.10	1.03	0.79	0.505	0.089	0.594
2Cb-0.63N	10	30	0.004	0.15	1.41	27.69	24.95	0.09	1.84	0.444	0.184	0.628

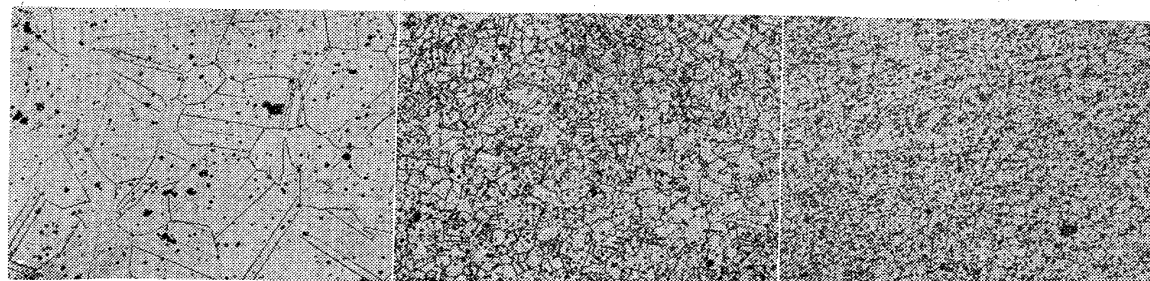


Photo. 1. Microstructures of 2 Mo-0.41N, 1 Mo 1 Cb-0.59N and 2 Cb-0.63N, as solution-quenched from 1200°C. Etching solution: 1 HCl + 1 alcohol. ×100 (2/3)



Photo. 2. Microstructure of 2 Mo-0.41N aged at 900°C for 1 h after 1200°C solution-treatment. Etching solution: 1 HCl + 1 alcohol. $\times 100$ (9/10)

かである。Cbを含む他の2鋼種の焼戻軟化が比較的早いのは溶体化状態においてすでにかなりのCbNが析出しており素地中のCbおよびNの濃度が低いためと考えられる。つぎに溶体化試料および30%冷間圧延試料について700°C, 800°Cおよび900°Cに1000hまで時効して組織および硬度変化を調べた。2Mo-0.41N鋼溶体化試料は700°Cおよび800°Cに加熱すると窒化物がWidmannstätten状の全面析出を示すが、900°C加熱ではPhoto. 2にみるように同様の全面析出が起る一方粒界反応による層状析出部が全面析出部を蚕食しながら成長し、10h時効で全体の30%位を占めるにいたり、その後はさらに長時間時効してももやは粒界反応は進行しない。硬度は700°Cおよび800°C時効でHv30程度の増加を示すが、900°C時効ではほとんど変化はみられない。1Mo1Cb-0.59N鋼および2Cb-0.63N鋼は上記各温度に時効しても粒界および粒内に方向性をもたない微粒状の窒化物の析出がみられる程度であつて、これは前述のように1200°C-1h溶体化で未固溶のCbNが残存しオーステナイト素地のN量が2Mo-0.41N鋼に比してかなり少ないためと思われ、硬度も時効によつてほとんど変化しない。

冷間圧延試料を上記各温度で時効するとMoの多いものほど軟化がいちじるしく遅れ、800°C-300h時効で2Cb-0.63N鋼は再結晶粒がみられるのに対し1Mo1Cb-0.59N鋼および2Mo-0.41N鋼は依然として歪んだ結晶組織を留めている。

2. 高温クリープ破断特性

各鋼の1200°C-1h溶体化試料および800°C時効試料について700°Cで引張クリープ破断試験を実施した。溶体化試料は応力20kg/mm²では3鋼種とも700h程度で破断し、破断伸びは2Mo-0.41N鋼で30%程度、1Mo1Cb-0.59N鋼および2Cb-0.63N鋼で40%程度のかなり大きな値を示した。700°C 1000h破断強度はいずれも17~19kg/mm²となり、前報¹で報告した25Cr-28Ni-0.54N鋼の6.9kg/mm²に比較して、MoおよびCbの添加によりいちじるしい向上を示し、また破断伸びも非常に増加している。しかし800°C 30hおよび100h時効試料は同じく20kg/mm²の応力下で各鋼種とも破断寿命が300h前後に減少し、また破

断伸びは2Mo-0.41N鋼30h時効で18.3%，100h時効で25.7%，2Cb-0.63N鋼30h時効で23.3%，100h時効で36.0%を示し、とともに30h時効の場合に伸びの減少がいちじるしい。

IV. 結 言

高圧窒素中溶解法により0.41~0.63%Nを含む高窒素25%Cr-28%Ni鋼を溶製し、その組織およびクリープ破断特性におよぼすMoおよびCb影響についてしらべた。

2Mo-0.41N鋼は1200°C加熱で十分溶体化し、その後の高温時効で窒化物が粒界反応あるいは全面析出によって現われ、顕著な組織変化を示すが、Cbを含む他の2鋼種は1200°C溶体化でCbNが残存し高温の時効による組織変化はあまり顕著ではない。しかしことにMoの添加は再結晶温度をかなり高め、またMo、Cbとともにクリープ破断特性をいちじるしく改善する1200°C溶体化後800°Cで時効処理を施すとクリープ破断特性は溶体化試料に比較して劣化することを認めた。

文 献

- 1) 岡本, 田中, 藤本: 鉄と鋼, 48(1962), p. 1509
 669, 14, 018, 44, 669, 15, 24, 26-
 194, 56, 539, 434, 669, 26, 669, 24
 (174) 15Cr-25Ni系オーステナイト耐
 熱鋼におよぼすCrおよびNiの
 影響 63/174

(オーステナイト系耐熱鋼の研究-VIII)

東京大学工学部 工博 藤田利夫
 日立金属工業 ○笹倉利彦

Effect of Chromium and Nickel on
 15%Cr-25%Ni Austenitic Heat-Resist-
 ing Steels.

615~617
 (Studies on austenitic heat-resisting steels-VIII)
 Dr. Toshio FUJITA and Toshihiko SASAKURA.

I. 緒 言

第7報までの試料のC調整は高炭素フェロクロームを使つていたが本報では低焼銑でC調整を行なつた。すなわち15Cr-25Ni系オーステナイト鋼にMo1.5%, W1.5%, Ti4%, B0.05%, Zr0.05%を添加したもの、さらにこれらのNi量を35%高くしたもの、Cr量10%に低くしたものおよび電解Crを使用したものについてクリープ破断強度、時効硬度、顕微鏡組織などにどのような影響をおよぼすかについて調べた。

II. 試 料

試料は高周波真空溶解炉で6kg溶製した。これを20mmの角棒に鍛造してクリープ破断試験に供し、さらに10mmの角棒に鍛造して時効硬度および顕微鏡組織に使用した。試料の化学組成をTable 1に示す。これらの試料のC調整はいずれも低焼銑(C=4%)を用いた。

S91は15Cr-25NiにW1.5%, Mo1.5%, Ti4%, B0.05%, Zr0.05%を添加したものである。

S92はS91のNi量を35%に高いたもの、S93